

УДК 539.3

О ВЛИЯНИИ ГРАНИЧНЫХ УСЛОВИЙ НА МАЛОНАПРЯЖЕННОСТЬ АНТИПЛОСКОЙ ЗАДАЧИ КУСОЧНО-ОДНОРОДНОГО ПРЯМОЛИНЕЙНО-АНИЗОТРОПНОГО КЛИНА

Саргсян А.М.

Ա. Մ. Սարգսյան

Կտոր առ կտոր համասեռ ուղղագծային-անիզոտրոպ սեպի եռալանգրի խնդրում թերաբաժանության վրա եզրային պայմանների ազդեցության մասին

Աշխատանքում ուսումնասիրված է առածգական լարումների վարքը երկայնական սափք պայմաններում գտնվող բաղադրյալ ուղղագծային-անիզոտրոպ սեպի միացման մակերևույթի եզր շրջակայքում տարբեր եզրային պայմանների դեպքում:

Տույլ է տրված, որ միացված մարմինների անիզոտրոպ հատկությունները էապես ազդում են թերաբաժանության և կոնցենտրացիոն ափսոսյունների վրա:

A.M. Sargsyan

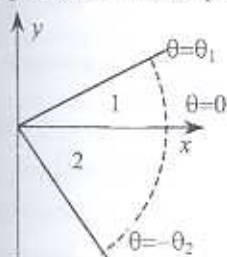
On Influence of Boundary Conditions of Small-stress of Antiplane Problem for Piece-wise-homogeneous Linear-anisotropic Wedge

В работе исследовано поведение упругих напряжений в окрестности края поверхности контакта составного прямолинейно-анизотропного клина, находящегося в состоянии продольного сдвига при различных граничных условиях.

Установлено, что анизотропные свойства соединенных тел существенно влияют на размеры областей малонапряженности и концентрации.

Распределение установившихся плоских физических полей (механических, тепловых, диффузионных, фильтрационных, электрических, магнитных и т.д.) и поведение их характеристик (упругие напряжения, поток тепла и вещества, плотность расхода жидкости, напряженность электрических и магнитных полей и т.д.) в кусочно-однородном изотропном клине рассмотрены в работах [1-3].

В работе [4] эти вопросы изучены для кусочно-однородного цилиндрически-анизотропного клина.



Փիգ. 1

В настоящей работе на примере антиплоской задачи теории упругости исследуется характер распределения установившихся плоских физических полей в окрестности края поверхности контакта кусочно-однородного прямолинейно-анизотропного клина (фиг.1). Неоднородный анизотропный клин в каждой точке имеет плоскость материальной симметрии, совпадающую с плоскостью  $oxy$ . Ось  $z$  перпендикулярна к этой плоскости. На боковых гранях составного клина задаются либо касательные напряжения, либо упругие перемещения, либо на одной грани ( $\theta = -\theta_2$ )

приложено касательное напряжение, а на другой грани ( $\theta = \theta_1$ ) задано перемещение.

Антиплоская задача для прямолинейно-анизотропного тела впервые была поставлена в работе [5], где из условий  $u_r = u_\theta = 0$  и сущест-



воования плоскости упругой симметрии получено определяющее уравнение для перемещения  $u_z(x, y)$ . В дальнейшем, используя результаты работы [5], получены решения ряд задач для анизотропных клиньев [9,10]. Здесь же вводится функция напряжений  $\Psi(x, y)$ , производные которой по  $x$  и  $y$  определяют упругие напряжения  $\tau_{xz}$  и  $\tau_{xy}$ . При этом уравнение равновесия удовлетворяется тождественно, а из условия совместности деформации получается уравнение для определения  $\Psi(x, y)$ .

При отсутствии объемных сил функция напряжений  $\Psi(x, y)$  в соответствующих областях удовлетворяет уравнению

$$a_{44}^{(j)} \frac{\partial^2 \Psi_j}{\partial x^2} - 2a_{45}^{(j)} \frac{\partial^2 \Psi_j}{\partial x \partial y} + a_{55}^{(j)} \frac{\partial^2 \Psi_j}{\partial y^2} = 0 \quad (1)$$

$$j=1, 0 < \theta < \theta_1; j=2, -\theta_2 < \theta < 0; \theta_1 + \theta_2 \leq 2\pi, \theta_j \leq 2\pi$$

условиям сопряжения на поверхности разрыва свойств материалов ( $y=0$ )

$$\tau_{yz}^{(1)} = \tau_{yz}^{(2)}, u_z^{(1)} = u_z^{(2)} \quad (2)$$

и граничным условиям, заданным в одном из видов:

$$(\tau_{xz}^{(1)} \cos \theta_1 - \tau_{xy}^{(1)} \sin \theta_1) \Big|_{x=r \cos \theta_1, y=r \sin \theta_1} = (\tau_{xz}^{(2)} \cos \theta_2 + \tau_{xy}^{(2)} \sin \theta_2) \Big|_{x=r \cos \theta_2, y=-r \sin \theta_2} = 0 \quad (3)$$

$$u_z^{(1)} \Big|_{x=r \cos \theta_1, y=r \sin \theta_1} = u_z^{(2)} \Big|_{x=r \cos \theta_2, y=-r \sin \theta_2} = 0 \quad (4)$$

$$u_z^{(1)} \Big|_{x=r \cos \theta_1, y=r \sin \theta_1} = (\tau_{xz}^{(2)} \cos \theta_2 + \tau_{xy}^{(2)} \sin \theta_2) \Big|_{x=r \cos \theta_2, y=-r \sin \theta_2} = 0 \quad (5)$$

где  $a_{44}$ ,  $a_{45}$ ,  $a_{55}$  — коэффициенты деформации.

То же уравнение (1) и аналогичные гранично-контактные условия с незначительным изменением обозначений имеют место и для других плоских физических полей [6-8]. Поэтому, методы решения поставленных выше задач и полученные основные выводы применимы и к этим полям.

Представим решение уравнений (1) в виде [11]

$$\Psi_j(x, y) = A_j(x + \mu_j y)^\lambda + B_j(x + \bar{\mu}_j y)^\lambda, \quad (j=1,2) \quad (6)$$

где  $A_j, B_j$  — неизвестные постоянные,  $\lambda$  — произвольный параметр,  $\mu_j$  и  $\bar{\mu}_j$  — корни квадратного уравнения

$$a_{55}^{(j)} \mu_j^2 - 2a_{45}^{(j)} \mu_j + a_{44}^{(j)} = 0, \quad \mu_j = \sigma_j + i\tau_j, \bar{\mu}_j = \sigma_j - i\tau_j, \tau_j > 0$$

$$\sigma_j = \frac{a_{45}^{(j)}}{a_{55}^{(j)}}, \tau_j = \frac{\sqrt{a_{44}^{(j)} a_{55}^{(j)} - a_{45}^{(j)2}}}{a_{55}^{(j)}} \quad (7)$$

Используя уравнения состояний и условие совместности деформаций [5] для перемещения  $u_z^{(j)}(x, y)$  будем иметь

$$u_z^{(j)}(x, y) = A_j m_j (x + \mu_j y)^\lambda + B_j \bar{m}_j (x + \bar{\mu}_j y)^\lambda + C \quad (8)$$

$$m_j = a_{55}^{(j)} \mu_j - a_{45}^{(j)}, \bar{m}_j = a_{55}^{(j)} \bar{\mu}_j - a_{45}^{(j)}$$

Удовлетворяя гранично-контактным условиям (2)–(5), для определе-

ния  $A_j, B_j$  получим системы линейных алгебраических уравнений. Из условий существования нетривиальных решений этих систем получим следующие уравнения относительно  $\lambda$ :

$$\Delta_3(\lambda) = (\chi + 1) \sin \lambda(\varphi_1 + \varphi_2) + (\chi - 1) \sin \lambda(\varphi_1 - \varphi_2) = 0 \quad (9)$$

$$\Delta_4(\lambda) = (\chi + 1) \sin \lambda(\varphi_1 + \varphi_2) - (\chi - 1) \sin \lambda(\varphi_1 - \varphi_2) = 0 \quad (10)$$

$$\Delta_5(\lambda) = (\chi + 1) \cos \lambda(\varphi_1 + \varphi_2) + (\chi - 1) \cos \lambda(\varphi_1 - \varphi_2) = 0 \quad (11)$$

где 
$$\chi = \frac{\chi_2}{\chi_1} = \sqrt{\frac{a_{44}^{(2)} a_{55}^{(2)} - a_{45}^{(2)} a_{45}^{(2)}}{a_{44}^{(1)} a_{55}^{(1)} - a_{45}^{(1)} a_{45}^{(1)}}$$

$$\varphi_1 = \arg(\cos \theta_1 + \mu_1 \sin \theta_1), \quad \varphi_2 = \arg(\cos \theta_1 - \mu_2 \sin \theta_1), \quad 0 < \varphi_i < 2\pi.$$

Сравнивая (9)-(11) с соответствующими уравнениями, относящимися к антиплоской задаче составного изотропного клина, замечаем, что решения поставленных задач свелись к решениям соответствующих задач для составного изотропного клина [2]. При этом составляющим клин изотропным материалам нужно приписать модули сдвига  $\chi_1, \chi_2$  и приведенные углы  $\varphi_1, \varphi_2$  соответственно.

В работах [1,2] показано, что корни (9)-(11) действительны и просты.

Как следует из (6), напряжения  $\tau_{yz}^{(j)} = -\partial\psi_j(x, y)/\partial x$  и  $\tau_{xz}^{(j)} = \partial\psi_j(x, y)/\partial y$  загибаются вблизи угловой точки составного клина, если первый положительный корень уравнений (9)-(11)  $\lambda_1 > 1$ . При  $\lambda_1 < 1$  эти напряжения неограниченно возрастают при приближении к угловой точке. В предельном случае, когда  $\lambda_1 = 1$ , при приближении к краю поверхности контакта, напряжения конечны и вообще отличны от нуля.

В уравнения (9)-(11), кроме углов  $\theta_1$  и  $\theta_2$ , входят еще пять независимых между собой параметров  $\chi, \sigma_1, \sigma_2, \tau_1$  и  $\tau_2$ . Поэтому исчерпывающее общее аналитическое исследование зависимости искомого корня  $\lambda_1$  от параметров задачи здесь, по-видимому, невозможно.

Для выявления влияния анизотропии материалов на поведение упругих напряжений в окрестности угловой точки составного клина воспользуемся понятием предельной кривой, впервые введенным в [1].

Хорошо известно [1,2], что на плоскости приведенных углов  $\varphi_1, \varphi_2$  предельные кривые, описываемые уравнениями (9)-(10) при  $\lambda = 1$  и разделяющие области, где компоненты напряжений  $\tau_{yz}$  и  $\tau_{xz}$  стремятся к нулю (область малонапряженности) или бесконечности (область концентрации), проходят через три характерные точки [1,2]. Это — точки с координатами  $(\varphi_1 = 0, \varphi_2 = \pi)$ ,  $(\varphi_1 = \pi/2, \varphi_2 = \pi/2)$ ,  $(\varphi_1 = \pi, \varphi_2 = 0)$  (фиг.2а).

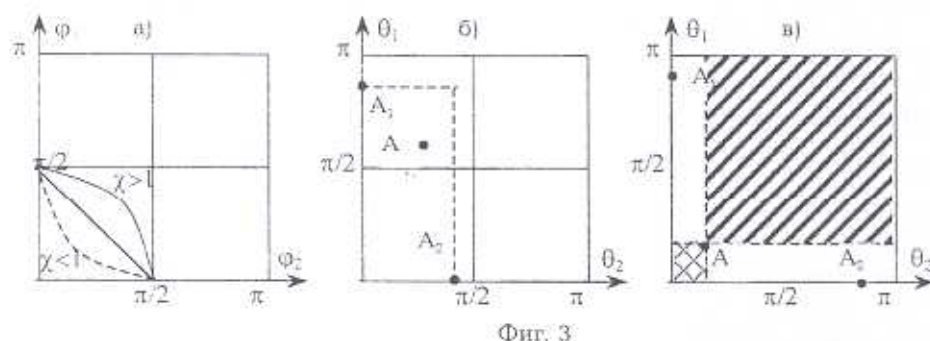
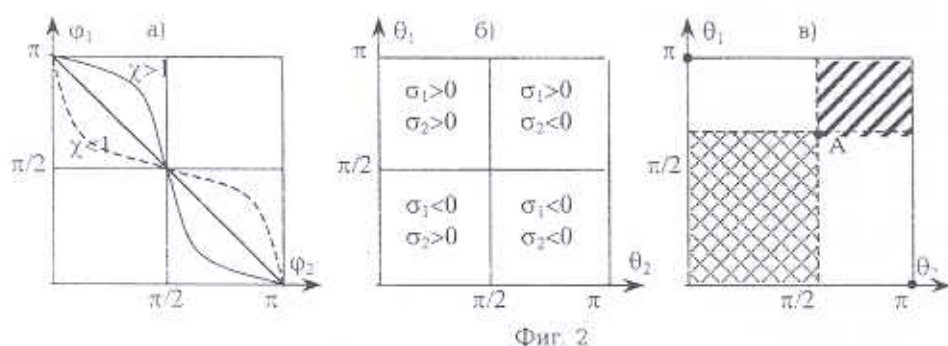
С помощью формул определения аргумента комплексных чисел  $z_1, z_2$

$$R_j \cdot \cos \varphi_j = \cos \theta_j - (-1)^j \sigma_j \sin \theta_j, \quad R_j \cdot \sin \varphi_j = \tau_j \sin \theta_j, \quad (12)$$

легко показать, что этим трем точкам на плоскости реальных углов

растворов однородных клиньев  $\theta_1, \theta_2$  соответствуют точки с координатами  $(\theta_1 = 0, \theta_2 = \pi)$ ,  $(\theta_1 = \text{arctg}(-\sigma_1), \theta_2 = \text{arccctg}(\sigma_2))$  и  $(\theta_1 = \pi, \theta_2 = 0)$ . Вторая из них в зависимости от  $\sigma_1$  и  $\sigma_2$  может находиться внутри квадрата со стороной  $\pi$  в любом месте (фиг.2б). В частном случае  $\sigma_j = 0$ , эта точка занимает место в центре квадрата.

Известно также [1,2], что внутри области  $0 < \varphi_1 < \pi/2$ ,  $0 < \varphi_2 < \pi/2$  напряжения стремятся к нулю при приближении к угловой точке, а внутри области  $\pi/2 < \varphi_1 < \pi$ ,  $\pi/2 < \varphi_2 < \pi$  они неограниченно возрастают в окрестности этой точки. Соответствующие области в плоскости  $\theta_1, \theta_2$  заштрихованы двойной и простой штриховкой (положение второй точки  $A$  на фиг.2в определено для случая  $\sigma_1 = 0.5, \sigma_2 = -0.25$ ).



Следовательно, предельные кривые проходят через незаштрихованные фиг.2в области, что и подтверждается численными расчетами уравнения (9), приведенные на фиг.4.

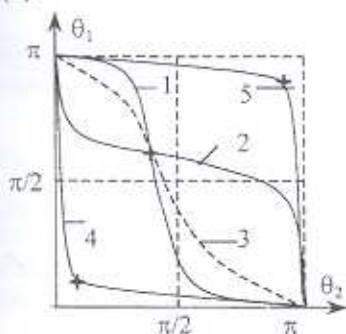
Предельная кривая 1 соответствует случаю  $\chi = 7, \sigma_j = 0.5, \tau_j = 2.0$ ; кривая 2 —  $\chi = 1/7, \sigma_j = 0.5, \tau_j = 2.0$ ; кривая 3 —  $\chi = 3, \sigma_j = 0.5, \tau_j = 2.0$ ; кривая 4 —  $\chi = 7, \sigma_j = 5.7(-1)^j, \tau_j = 1.7$ ; кривая 5 —  $\chi = 7, \sigma_j = -5.7(-1)^j, \tau_j = 1.7$ . На этих кривых звездочками обозначены положения второй характерной точки.

На основании фиг.4 заключаем, что напряжения  $\tau_{12}$  и  $\tau_{22}$  на краю

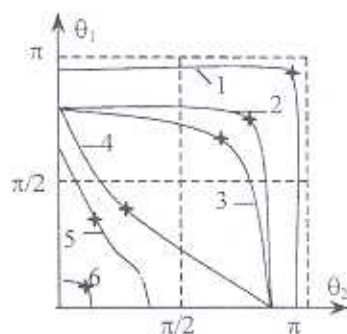
поверхности контакта неоднородного анизотропного клина могут неограниченно возрастать при весьма малом значении суммы углов  $\theta_1 + \theta_2$ . В случае же, когда  $\theta_1$  и  $\theta_2$  близки к  $\pi$ , вблизи этого края, являющегося вершиной весьма близкого к трещине выреза, эти напряжения могут загужать.

Аналогичный результат несколько иным путем был получен в работе [11] при изучении упругих напряжений, возникающих в составном прямолинейно-анизотропном стержне при кручении.

Уравнение (10) совпадает с уравнением (9) при замене  $\chi$  по  $1/\chi$ , поэтому вышеприведенный анализ относится и к случаю граничных условий (3).



Фиг. 4



Фиг. 5

Из фиг.4 видно также, что при граничных условиях (3) и (4) область малонапряженности увеличивается в два раза по сравнению с таковой для составного изотропного клина.

В случае граничных условий (5), характерные точки, через которые проходят предельные кривые, описываемые уравнением (11) при  $\lambda_1 = 1$ , несколько иные.

В данном случае точки пересечения предельных кривых с координатными осями  $\varphi_1$  и  $\varphi_2$  (фиг.3а) переходят на плоскость  $\theta_1\theta_2$  в точки  $A_1$  и  $A_2$  с координатами  $(\text{arcsctg}(-\sigma_1), 0)$ , и  $(0, \text{arcsctg}\sigma_2)$  соответственно, причем  $0 < \text{arcsctg}(-1)'\sigma_j < \pi$ . В качестве третьей характерной точки берется точка пересечения предельной кривой (при заданном значении  $\chi$ ) с линией  $\varphi_1 = \varphi_2$  (фиг.3а). Далее, из (14) определяется положение этой точки на плоскости  $\theta_1\theta_2$  в зависимости от  $\sigma_j$  и  $\tau_j$ . При этом третья точка при заданных  $\sigma_j$  и  $\tau_j$  должна находиться ниже линии  $\theta_1 = \text{arcsctg}(-\sigma_1)$  и левее линии  $\theta_2 = \text{arcsctg}\sigma_2$  (фиг.3б). Например, из (11') для  $\chi = 0.2$  находим, что  $\varphi_1 = \varphi_2 = 2\pi/15$ . И в случае  $\sigma_j = -5.671(-1)'$ ,  $\tau_j = 1.685$  из (12) получим координаты всех трех характерных точек на плоскости  $\theta_1\theta_2$  (фиг.3в):  $A_1(0, 17\pi/18)$ ,  $A_2(17\pi/18, 0)$ ,  $A(1,6\pi/18, 1,6\pi/18)$ .

На фиг.5 представлены результаты численных расчетов. Предельная кривая 1 построена для случая  $\chi = 14$ ,  $\sigma_j = -5.671(-1)'$ ,  $\tau_j = 1.685$ :

кривая 2-  $\chi = 4, \sigma_j = \sqrt{3}(-1)^{j+1}, \tau_1 = 1, \tau_2 = 1.5$ ; кривая 3-  $\chi = 1, \sigma_j = \sqrt{3}(-1)^{j+1}, \tau_1 = 1, \tau_2 = 1.5$ ; кривая 4-  $\chi = 0.25, \tau_1 = 1, \tau_2 = 1.5, \sigma_j = \sqrt{3}(-1)^{j+1}$ ; кривая 5-  $\chi = 1, \sigma_j = 0.5, \tau_j = j$ ; кривая 6-  $\chi = 14, \tau_j = 1.685, \sigma_j = 5.671(-1)^j$ . В отличие от составного изотропного клина, для которого область малонапряженности в предельном случае  $\chi \rightarrow \infty$  становится квадратом со стороной  $\pi/2$ , в случае граничных условий (5) в зависимости от  $\sigma_j$  эта область может увеличиваться в 4 раза.

Таким образом, анизотропия соединенных тел существенно влияет на размеры области малонапряженности или концентрации и дает возможность регулирования поведения упругих напряжений в окрестности края поверхности контакта составного анизотропного тела в нужном направлении.

#### ЛИТЕРАТУРА

1. Чобанян К.С. Напряжения в составных упругих телах. Ереван: Изд-во АН АрмССР, 1987. 338с.
2. Саргсян А.М., Хачикян А.С. Поведение некоторых физических полей в окрестности края поверхности контакта кусочно-однородного тела. // Докл. АН АрмССР. 1988, Т.86, №4. С.161-166.
3. Sinclair G.B. On the singular Eigenfunction for plane Harmonic Problems in Composite Regions. // J. of Appl. Mech. 1980. vol.47, №1, P.87-92.
4. Саргсян А.М. Поведение плоских стационарных физических полей в окрестности края поверхности контакта кусочно-однородного цилиндрически-анизотропного клина//В сб.: Механика деформируемого тела. Ереван: Изд. АН Армении. 1993, С.157-162.
5. Саркисян В.С., Айрапетян В.Ж. Новые классы задач теории упругости анизотропного тела. Ереван: Изд. Ереванского ун-та. 1997. С.241.
6. Вековищева И.А. Плоская задача теории электроупругости для пьезоэлектрической пластинки. ПМ. 1975, Т.ХI, вып.2. С.85-89.
7. Пруссов И.А. Двумерные краевые задачи фильтрации. Минск: Изд. "Университетское", 1987, 182с.
8. Карслоу Г., Егер Д. Теплопроводность твердых тел. М.: Наука. 1964. 488с.
9. Айрапетян В.Ж., Кутузян Н.А., Овсепян Д.Л. Антиплоские задачи для анизотропных неоднородных клиньев.//Уч. записки ЕГУ. 1999, №2. С.30-37.
10. Саркисян В.С., Мелкумян С.А., Мелкумян А.С. О некоторых задачах теории упругости анизотропного тела. Донецк: Актуальные проблемы механики деформируемого твердого тела. 2001.
11. Алексанян Р.К., Чобанян К.С. Характер напряжений вблизи края поверхности контакта скручиваемого анизотропного составного стержня // ПМ. 1977, Т.ХIII, №6. С.90-96.

Институт механики  
НАН Армении

Поступила в редакцию  
25.07.2001